

ЧИСЛЕННОЕ ИССЛЕДОВАНИЕ НАПРЯЖЁННО-ДЕФОРМИРОВАННОГО СОСТОЯНИЯ ТРЁХСЛОЙНЫХ ПЛАСТИН СЛОЖНОЙ КОНФИГУРАЦИИ

Хикматову Гулхаё

Навоийский государственный университет

Аннотация: B данной рассматриваются статье вопросы математического моделирования и численного анализа трёхслойных пластин сложной формы. Разработана вычислительная модель, позволяющая проводить оценку напряжённо-деформированного состояния многослойных конструкций с учётом различий в физических и механических свойствах слоёв. В работе использованы методы конечно-элементного анализа и численного интегрирования. Проведённые вычислительные эксперименты показали, что предложенный подход обеспечивает высокую точность расчётов устойчивость алгоритма при моделировании геометрических форм. Полученные результаты могут быть использованы при проектировании композитных материалов, а также в инженерных и строительных конструкциях, важна надёжность многослойных где элементов.

Ключевые слова: трёхслойные пластины, математическое моделирование, численный анализ, конечно-элементный метод, напряжённо-деформированное состояние, вычислительный эксперимент, композитные материалы, сложная конфигурация.

В последние годы вопрос повышения термического сопротивления и упругого поведения стен и других ограждающих конструкций решается переходом к трехслойным конструкциям.

Трёхслойные пластины являются частным случаем многослойных пластин, математические модели которых полученные согласно вариационному принципу Гамильтона – Остроградского приведено в работе:

$$\delta \int_{t} (K - \Pi + A) dt = 0$$





где К — кинетическая энергия системы, Π — потенциальная энергия системы, A — потенциал внешних сил, δ — операция варьирования.

Математические модели п слойных анизотропных пластин изучены в работе [1]. При n=2 рассмотрим частный случай, если материалы жестких слоев ортотропные с главными направлениями, совпадающими с направлением осей координат. Получаем уравнения равновесия для трехслойных пластин [2-4]:

$$\left[\frac{\partial^{2} v_{1}^{(1)}}{\partial y^{2}} + \frac{A_{(1)}^{(1)} b^{2}}{A_{(2)}^{(1)} a^{2}} \frac{\partial^{2} v_{1}^{(1)}}{\partial x^{2}} + \frac{A_{(3)}^{(1)} b}{A_{(2)}^{(1)} a} \frac{\partial^{2} v_{2}^{(1)}}{\partial x \partial y} + \frac{B_{1} b^{2}}{A_{(2)}^{(1)}} \left(v_{1}^{(2)} - v_{1}^{(1)} \right) + \frac{B_{1} c b^{2}}{A_{(2)}^{(1)} a} \frac{\partial w}{\partial x} = \frac{-q_{1}^{(1)} b^{2}}{A_{(2)}^{(1)} h}, \\ \frac{\partial^{2} v_{1}^{(2)}}{\partial y^{2}} + \frac{A_{(1)}^{(1)} b^{2}}{A_{(2)}^{(2)} a^{2}} \frac{\partial^{2} v_{1}^{(2)}}{\partial x^{2}} + \frac{A_{(3)}^{(2)} b}{A_{(2)}^{(2)} a} \frac{\partial^{2} v_{2}^{(2)}}{\partial x \partial y} - \frac{B_{1} b^{2}}{A_{(2)}^{(2)}} \left(v_{1}^{(2)} - v_{1}^{(1)} \right) - \frac{B_{1} c b^{2}}{A_{(2)}^{(2)} a} \frac{\partial w}{\partial x} = \frac{-q_{1}^{(1)} b^{2}}{A_{(2)}^{(2)} h}, \\ \frac{\partial^{2} v_{2}^{(1)}}{\partial y^{2}} + \frac{A_{(1)}^{(1)} b^{2}}{A_{(2)}^{(1)} a^{2}} \frac{\partial^{2} v_{2}^{(1)}}{\partial x^{2}} + \frac{A_{(3)}^{(1)} b}{A_{(2)}^{(1)} a} \frac{\partial^{2} v_{1}^{(1)}}{\partial x \partial y} + \frac{B_{1} b^{2}}{A_{(2)}^{(1)}} \left(v_{2}^{(2)} - v_{2}^{(1)} \right) + \frac{B_{1} c b}{A_{(2)}^{(1)} a} \frac{\partial w}{\partial x} = \frac{-q_{1}^{(1)} b^{2}}{A_{(2)}^{(2)} h}, \\ \frac{\partial^{2} v_{2}^{(1)}}{\partial y^{2}} + \frac{A_{(1)}^{(1)} b^{2}}{A_{(2)}^{(1)} a^{2}} \frac{\partial^{2} v_{2}^{(1)}}{\partial x^{2}} + \frac{A_{(3)}^{(1)} b}{A_{(2)}^{(2)} a} \frac{\partial^{2} v_{1}^{(1)}}{\partial x \partial y} - \frac{B_{1} b^{2}}{A_{(2)}^{(2)}} \left(v_{2}^{(2)} - v_{2}^{(1)} \right) + \frac{B_{1} c b}{A_{(2)}^{(1)} b} \frac{\partial w}{\partial y} = -\frac{q_{2}^{(1)} b^{2}}{A_{(2)}^{(1)} h}, \\ \frac{\partial^{2} v_{2}^{(2)}}{\partial y^{2}} + \frac{A_{(1)}^{(1)} b^{2}}{A_{(2)}^{(2)} a^{2}} \frac{\partial^{2} v_{2}^{(2)}}{\partial x^{2}} + \frac{A_{(3)}^{(3)} b}{A_{(2)}^{(2)} a} \frac{\partial^{2} v_{1}^{(2)}}{\partial x \partial y} - \frac{B_{1} h}{A_{(2)}^{(2)}} \left(v_{2}^{(2)} - v_{2}^{(1)} \right) - \frac{B_{1} c b}{A_{(2)}^{(1)} b} \frac{\partial w}{\partial y} = -\frac{q_{2}^{(1)} b^{2}}{A_{(2)}^{(1)} h}, \\ \frac{\partial^{4} w}{\partial y^{4}} + \frac{D_{1} b^{4}}{D_{2} a^{4}} \frac{\partial^{4} w}{\partial x^{4}} + \frac{2D_{3} b^{2}}{D_{2} a^{2}} \frac{\partial^{4} w}{\partial x^{2} \partial y^{2}} - \\ -\frac{Bc}{2D_{2}} \left[\frac{b^{4}}{a} \frac{\partial}{\partial x} \left(v_{1}^{(2)} - v_{1}^{(1)} \right) + b^{3} \frac{\partial}{\partial y} \left(v_{2}^{(2)} - v_{2}^{(1)} \right) + c \left(\frac{b^{4}}{a^{2}} \frac{\partial^{2} w}{\partial x^{2}} + b^{2} \frac{\partial^{2} w}{\partial y^{2}} \right) \right] = \frac{q_{3} b^{4}}{2D_{2} h}.$$

Здесь

$$\begin{split} D_{\alpha} &= \frac{E_{\alpha}h^3}{12(1-v^2)}; \qquad D_k = \frac{Gh^3}{12}; \qquad D_3 = 2D_k + v \ D_1; \ A_{\alpha}^{(k)} &= \frac{E_{\alpha}^{(k)}h}{(1-v^2)}; \quad A_k^{(k)} = G_{(k)}h_{(k)}; \\ A_3^{(k)} &= A_k^{(k)} + v \ A_1^{(k)}; \ B &= \frac{G(z)}{h}; \quad c = \frac{1}{2} \left(h_{(k)} - h_{[k]}\right); \qquad (k = 1, 2, \alpha = 1, 2), \end{split}$$

где w(x,y) - нормальное перемещение, $\upsilon_1^{(k)}(x,y)$ и $\upsilon_2^{(k)}(x,y)$ (k=1,2) - тангенциальные перемещения, h - толщина пластины; E - модуль упругости; ν - коэффициент Пуассона; $q_1^{(1)}, q_1^{(2)}, q_2^{(1)}, q_2^{(2)}, q_3$ - внешние нагрузки.

Уравнение равновесия (1) в векторной – матричной форме запишем в виде

$$SU = Q$$
,

где $U(\mathcal{G}_1^{(1)},\mathcal{G}_1^{(2)},\mathcal{G}_2^{(1)},\mathcal{G}_2^{(2)},w)$ -перемещения, S - матрица — оператор, которая имеет вид

$$S = S_1 \frac{\partial^4}{\partial x^4} + S_2 \frac{\partial^4}{\partial x^2 \partial y^2} + S_3 \frac{\partial^4}{\partial y^4} + S_4 \frac{\partial^2}{\partial x^2} + S_5 \frac{\partial^2}{\partial x \partial y} + S_6 \frac{\partial^2}{\partial y^2} + S_7 \frac{\partial}{\partial x} + S_8 \frac{\partial}{\partial y} + S_9 u.$$

Для решения поставленной задачи изгиба трехслойной пластины со





сложной конфигурацией применяем вариационный метод Бубнова – Галеркина [5-7].

Далее на основе этих значений определяются значения напряжений, моментов и усилий.

На построении последовательности координатных функций, удовлетворяющие граничные условия, используем структурный метод R - функций В.Л.Рвачева.

В общем случае структуру решений, построенную методом R - функций, можно представить в виде [5-7]:

$$\mathcal{G}_{1}^{(1)} = \mathcal{G}_{1}^{(1)} (\boldsymbol{\omega}, \boldsymbol{U}_{1}), \ \mathcal{G}_{1}^{(2)} = \mathcal{G}_{1}^{(2)} (\boldsymbol{\omega}, \boldsymbol{U}_{2}), \quad \mathcal{G}_{2}^{(1)} = \mathcal{G}_{2}^{(1)} (\boldsymbol{\omega}, \boldsymbol{U}_{3}), \quad \mathcal{G}_{2}^{(2)} = \mathcal{G}_{2}^{(2)} (\boldsymbol{\omega}, \boldsymbol{U}_{4}), \quad \boldsymbol{w} = \boldsymbol{w} (\boldsymbol{\omega}, \boldsymbol{U}_{5}), \quad \boldsymbol{w} = \boldsymbol{w} (\boldsymbol{\omega}, \boldsymbol{\omega}, \boldsymbol{\omega}), \quad \boldsymbol{w} = \boldsymbol{\omega} (\boldsymbol{\omega}, \boldsymbol{\omega}, \boldsymbol{\omega}), \quad \boldsymbol{\omega} = \boldsymbol{\omega} (\boldsymbol{\omega}, \boldsymbol{\omega}, \boldsymbol{\omega}), \quad \boldsymbol{\omega} =$$

где

$$\boldsymbol{U}_{1} = \sum_{i=1}^{n} \boldsymbol{c}_{i}^{(1)} \boldsymbol{\varphi}_{i}^{(1)} \,, \qquad \boldsymbol{U}_{2} = \sum_{i=1}^{n} \boldsymbol{c}_{i}^{(2)} \boldsymbol{\varphi}_{i}^{(2)} \,, \qquad \boldsymbol{U}_{3} = \sum_{i=1}^{n} \quad \boldsymbol{c}_{i}^{(3)} \boldsymbol{\varphi}_{i}^{(3)} \,, \qquad \boldsymbol{U}_{4} = \sum_{i=1}^{n} \quad \boldsymbol{c}_{i}^{(4)} \boldsymbol{\varphi}_{i}^{(4)} \,, \qquad \boldsymbol{U}_{5} = \sum_{i=1}^{n} \quad \boldsymbol{c}_{i}^{(5)} \boldsymbol{\varphi}_{i}^{(5)} \,,$$

Здесь ω - нормализованное уравнение границы области пластинки; $\varphi_i^{(k)}\left(k=\overline{1,5}\right)$ - некоторые полные (базисные) системы функций (степенной, тригонометрические полиномы и т.д.); $c_i^{(k)}\left(k=\overline{1,5}\right)$ - неопределенные коэффициенты структуры решений, подлежащие определению.

Рассмотрим изгиб жестко-защемленной и шарнирно-опертой трехслойной пластины, изображенной на рис.1.

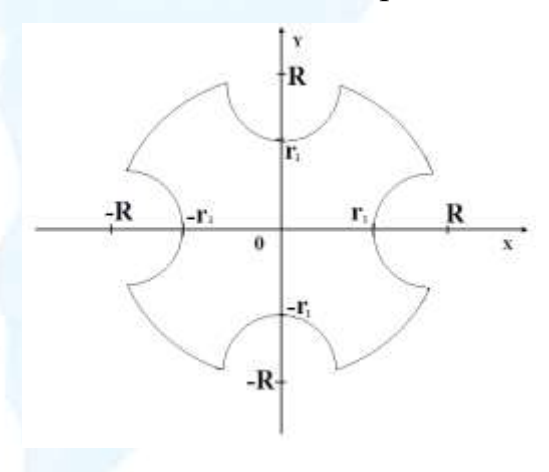


Рис.1. Круг с четырьмя вырезами

В этом случае нормализованные уравнения границы области имеют вид:

$$f1:=sqr(R)-sqr(x)-sqr(y)>=0;$$

$$f2:=sqr(x-R)+sqr(y)-$$

$$sqr(r1)>=0;$$

$$f3:=sqr(x)+sqr(y-R)-$$

$$sqr(r1)>=0;$$

$$f4:=sqr(x+R)+sqr(y)$$
-

sqr(r1)>=0;

$$f5$$
:= $sqr(x)+sqr(y+R)-sqr(r1)>=0;$





 $\omega := (((f1 \text{ and } f2) \text{ and } f3) \text{ and } f4) \text{ and } f5,$

где R — радиус большой окружности, rI — радиус высеченной окружности.

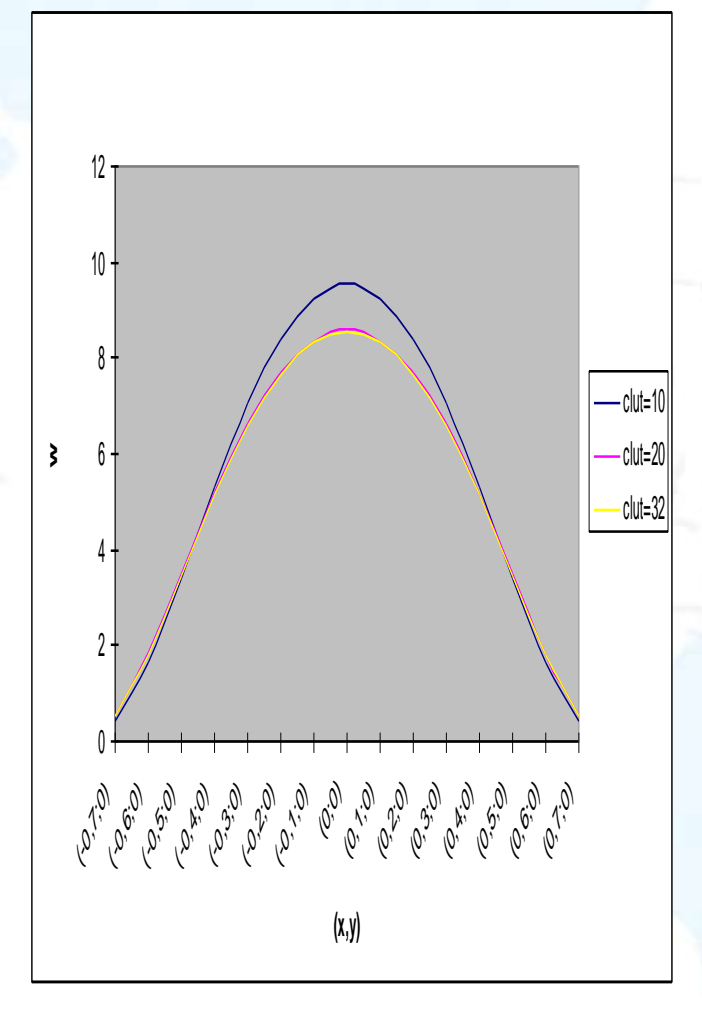
Для проведения вычислительного эксперимента в качестве исходных данных при решении данной задачи имеем:

R=1м, r1=0.2 м, h=0.01 м (толщина), $E_1/E_2=25$, $G_1/E_2=0.5$, $G_2/E_2=0.2$, v=0.25 (коэффициент Пуассона),[8].

Рассматривая значения $\overline{w}(\overline{w}=10^4w)$ по сечению ОХ (x, y=0), проведем численное исследование алгоритма расчета изгиба трехслойной пластины при жестко-защемленном граничном условии и координатах равных 10 (т.е. N = (nk+1)(nk+2)/2, где nk=3) и постоянных значения узлов Гаусса при вычислении двукратных интегралов (т.е. slutoch=10,20u32). Результаты расчета приведены в табл. 1, график которого дается на рис. 2 соответственно.

Табл.1

	clut=1	clut=2	clut=3
(\mathbf{x},\mathbf{y})	0	0	2
(-			
0,7;0)	0,4183	0,5241	0,5114
(-		- 4.1	
0,6;0)	1,6409	1,8372	1,804
(-			
0,5;0)	3,3908	3,5081	3,4613
(-			
0,4;0)	5,2991	5,1833	5,1329
(-			
0,3;0)	7,045	6,6254	6,5785
(-		-	ž.
0,2;0)	8,4063	7,7023	7,6616
(-		_107	
0,1;0)	9,259	8,3581	8,3227
(0;0)	9,5485	8,5778	8,5443
(0,1;0)	9,2596	8,3592	8,3238
(0,2;0)	8,4052	7,7027	7,662
(0,3;0)	7,0388	6,6225	6,5758
(0,4;0)	5,2869	5,1758	5,1259
(0,5;0)	3,3756	3,4981	3,4522
(0,6;0)	1,6295	1,83	1,7976





Ilm fan taraqqiyotida raqamli iqtisodiyot va zamonaviy ta'limning o'rni hamda rivojlanish omillari

Рис.2 Значения $\overline{w}(\overline{w}=10^4w)$ по сечению ОХ (0,7;0) 0,415 0,523 0,5106 (x, y=0) при nk=3

Анализ численного исследования по полученным результатам показывает, что применение метода R-функций в комбинации с вариационным методом Бубнова — Галеркина при решении поставленной задачи расчета колебания трехслойных пластин со сложной конфигурацией вполне оправдан и дает хорошие результаты.

Литература

- [1]. Назиров Ш.А., Жумаев С.С. Математическая модель колебания многослойных пластин // Вопросы вычисл. и прикл. математики: Сб. науч. труд. Ташкент, ИМИТ АН РУз, 2010.- вып. 124. с. 64-79
- [2]. Болотин В.В. Новичков Ю.Н. Механика многослойных конструкций.- М.: Машиностроение. 1980. 375 с.
- [3]. Васидзу К. Вариационные методы в теории упругости и пластичности.- М.: Мир, 1987.-542с.
- [4]. Образцов И.Ф.Савельев Л.М.Хазанов Х.С. Методы конечных элементов и задач строительной механики летательных аппаратов.- М.: Высшая школа,1985. 392с.
- [5]. Рвачев В.Л. Теория R-функций и некоторые ее приложения. Киев: Наукова думка, 1982. 552с.
- [6]. Михлин С.Г. Вариационные методы в математической физике. М.: Наука, 1970 г. 512с.
 - [7]. Гантмахер Ф.Р. Теория матриц.- М.: Наука, 1988. 552 с.
- [8]. Курпа Л.В. Метод R-функций для решения задач изгиба и колебаний пологих оболочек.- Харьков: НТУ «ХПИ», 2009. 408 с

